

УДК 539.3

МОДИФИКАЦИЯ МЕТОДА КОНЕЧНЫХ ЭЛЕМЕНТОВ ДЛЯ ОБЛАСТЕЙ С ОСОБЫМИ ТОЧКАМИ

ЛУЩИК О. Н.

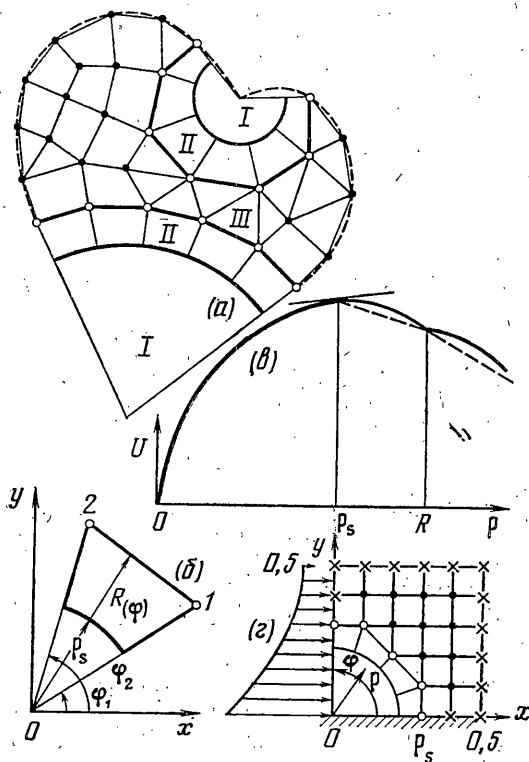
Предлагается модификация метода конечных элементов в перемещениях для областей с особыми точками, которая заключается в совместном использовании элементов трех типов: стандартных, сингулярных и буферных. Первый тип работает только с обычными функциями формы, второй — с асимптотическими, а последний обеспечивает, как минимум, непрерывную стыковку между ними. На конкретном примере исследуется сходимость этой модификации, определяется радиус действия асимптотики в чистом виде, анализируется поведение напряжений в окрестности особой точки в зависимости от величины сингулярного элемента и шага сетки.

1. При решении методом конечных элементов задач теории упругости для областей с особыми точками обычно используют сгущение сетки в окрестности таких точек. Если же вычисления проводятся на равномерной сетке, то или в элементе, содержащем особую точку, соответствующим образом подбирают порядок функций формы [1], или в достаточном количестве элементов, окружающих эту точку, аппроксимацию берут в виде суммы стандартной и сингулярной частей [2]. Исследуем, может ли асимптотика [3, 4] работать самостоятельно в окрестности особой точки и как далеко простирается эта окрестность в зависимости от числа элементов асимптотики.

Разобьем всю область на три зоны: сингулярную, буферную и стандартную (первые две включают в себя столько подзон, сколько имеется особых точек). На фиг. 1, а эти зоны отделены друг от друга жирными сплошными линиями и пронумерованы соответственно I, II, III.

Стандартная зона III состоит из стандартных элементов с обычной аппроксимацией перемещений [2, 5]; узлы элементов на фиг. 1, а показаны темными и светлыми точками (последнее — в случае, когда узел находится на границе с буферной подзоной). Каждая сингулярная подзона образует один сингулярный элемент, имеющий вид сектора с центром в особой точке; перемещения в нем будем аппроксимировать усеченной асимптотикой с неизвестными коэффициентами. Каждая буферная подзона, содержащая несколько буферных элементов, располагается между сингулярной подзоной и стандартной зоной. Ее назначение — стыковка сингулярной и стандартной аппроксимаций таким образом, чтобы порядок последней в какой-то мере сказывался на порядке стыковки.

Буферные элементы (фиг. 1, б) имеют форму криволинейного четырехугольника, у которого обязательно две стороны радиальные ($\varphi = \varphi_1$ и $\varphi = \varphi_2$), а одна — трансверсальная ($\rho = \rho_s$) координатные линии местной полярной системы координат с центром в особой точке (ρ_s — радиус соответствующего сингулярного элемента). Четвертая сторона $\rho = R(\varphi)$ является границей (прямолинейной или криволинейной) соседнего стандартного элемента, и поэтому на ней располагаются, как минимум, два узла, которые будем называть буферными (на фиг. 1, а и б они показаны светлыми точками). Аппроксимация перемещений на этой стороне определяется известными функциями формы стандартного элемента [2, 5] (с неизвестными узловыми значениями); в то время как на противоположной стороне, граничащей с сингулярным элементом, она пред-



Фиг. 1

ставляет собой усеченную асимптотику при $\rho = \rho_s$ (с неизвестными коэффициентами).

Таким образом, аппроксимацию перемещений внутри буферного элемента (при каждом фиксированном полярном угле φ) можно взять по ρ того же порядка, что и в стандартном элементе: в линейном случае она определяется сингулярными и стандартными перемещениями на границах, в более высоком — требуется совпадение необходимого количества пограничных производных по ρ (на фиг. 1, δ линейный вариант показан штриховыми линиями, квадратичный — сплошными; жирная сплошная линия соответствует перемещениям в сингулярном элементе). В результате неизвестными, от которых зависит аппроксимация перемещений внутри буферного элемента, являются как коэффициенты асимптотики, так и те из узловых значений соседнего стандартного элемента, что формируют его аппроксимацию на их общей границе.

Рассмотрим подробнее сингулярный элемент. На его внешних границах $\varphi = 0$ и $\varphi = \alpha$ могут быть заданы перемещения или напряжения. Согласно [4], аппроксимацию перемещений в таком элементе следует представить в виде

$$\{U\} = [N] \{A\} + \{U^{\sim}\}, \quad N_{ij} = \rho^{\lambda_j} F_{ij} \quad (i=1, 2; j=1, \dots, m) \quad (1.1)$$

$$F_{1j} = \frac{\lambda_j - 3 + 4\nu}{\nu} [d_{1j} \cos(\lambda_j - 1)\varphi + d_{2j} \sin(\lambda_j - 1)\varphi] + \\ + d_{3j} \cos(\lambda_j + 1)\varphi + d_{4j} \sin(\lambda_j + 1)\varphi \\ F_{2j} = \frac{\lambda_j + 3 - 4\nu}{\nu} [-d_{1j} \sin(\lambda_j - 1)\varphi + d_{2j} \cos(\lambda_j - 1)\varphi] - \\ - d_{3j} \sin(\lambda_j + 1)\varphi + d_{4j} \cos(\lambda_j + 1)\varphi$$

Здесь A_i — неизвестные коэффициенты асимптотики; их число m , как и радиус сингулярного элемента ρ_s , подбираются в процессе решения конкретной краевой задачи; $[N]$ — матрица функций формы сингулярного элемента; ν — коэффициент Пуассона; константы λ_j и $d_{1j}, d_{2j}, d_{3j}, d_{4j}$ оп-

ределяются из нулевых условий на внешних границах [4], причем нумерация λ_j идет в порядке возрастания положительной реальной части; $\{U\}$ — свободное слагаемое, которое представляет собой частное решение приближенных уравнений равновесия в окрестности особой точки [4] для ненулевых граничных условий на сторонах $\varphi=0$ и $\varphi=\alpha$.

Используя (1.1), можно вычислить диагональные и недиагональные члены матрицы жесткости сингулярного элемента $[k^{(s)}]$ размера $m \times m$ (G — модуль сдвига):

$$\begin{aligned}
 k_{ii}^{(s)} = & 2G\lambda_i\rho_s \left\{ \left[\frac{(\lambda_i-1)^2+2(1-2\nu)}{\nu^2} (d_{1i}^2+d_{2i}^2) + d_{3i}^2+d_{4i}^2 \right] \alpha + \right. \\
 & + \frac{\lambda_i-1}{\nu} [(d_{1i}d_{3i}+d_{2i}d_{4i}) \sin 2\alpha + (d_{1i}d_{4i}-d_{2i}d_{3i}) (1-\cos 2\alpha)] + \\
 & \left. + \frac{1-2\nu}{(\lambda_i-1)\nu^2} [(d_{1i}^2-d_{2i}^2) \sin 2(\lambda_i-1)\alpha + 2d_{1i}d_{2i} (1-\cos 2(\lambda_i-1)\alpha)] \right\} \\
 k_{ij}^{(s)} = & 4G \frac{\lambda_i\lambda_j}{\lambda_i+\lambda_j} \rho_s^{\lambda_i+\lambda_j} \left\{ \left[\frac{(\lambda_i-1)(\lambda_j-1)+2(1-2\nu)}{\nu^2} (d_{1i}d_{1j}+d_{2i}d_{2j}) + \right. \right. \\
 & \left. \left. + (d_{3i}d_{3j}+d_{4i}d_{4j}) \right] \frac{\sin(\lambda_i-\lambda_j)\alpha}{\lambda_i-\lambda_j} - \right. \\
 & \left. - \left[\frac{(\lambda_i-1)(\lambda_j-1)+2(1-2\nu)}{\nu^2} (d_{1i}d_{2j}-d_{2i}d_{1j}) + d_{3i}d_{4j}-d_{4i}d_{3j} \right] \times \right. \\
 & \times \frac{1-\cos(\lambda_i-\lambda_j)\alpha}{\lambda_i-\lambda_j} + \frac{\lambda_i-1}{(\lambda_i-\lambda_j-2)\nu} [(d_{1i}d_{3j}+d_{2i}d_{4j}) \sin(\lambda_i-\lambda_j-2)\alpha - \\
 & - (d_{1i}d_{4j}-d_{2i}d_{3j}) (1-\cos(\lambda_i-\lambda_j-2)\alpha)] + \\
 & + \frac{\lambda_j-1}{(\lambda_i-\lambda_j+2)\nu} [(d_{3i}d_{1j}+d_{4i}d_{2j}) \sin(\lambda_i-\lambda_j+2)\alpha - \\
 & - (d_{3i}d_{2j}-d_{4i}d_{1j}) (1-\cos(\lambda_i-\lambda_j+2)\alpha)] + \\
 & \left. + \frac{2(1-2\nu)}{(\lambda_i+\lambda_j-2)\nu^2} [(d_{1i}d_{1j}-d_{2i}d_{2j}) \sin(\lambda_i+\lambda_j-2)\alpha + \right. \\
 & \left. + (d_{1i}d_{2j}+d_{2i}d_{1j}) (1-\cos(\lambda_i+\lambda_j-2)\alpha)] \right\} \quad (i \neq j)
 \end{aligned}$$

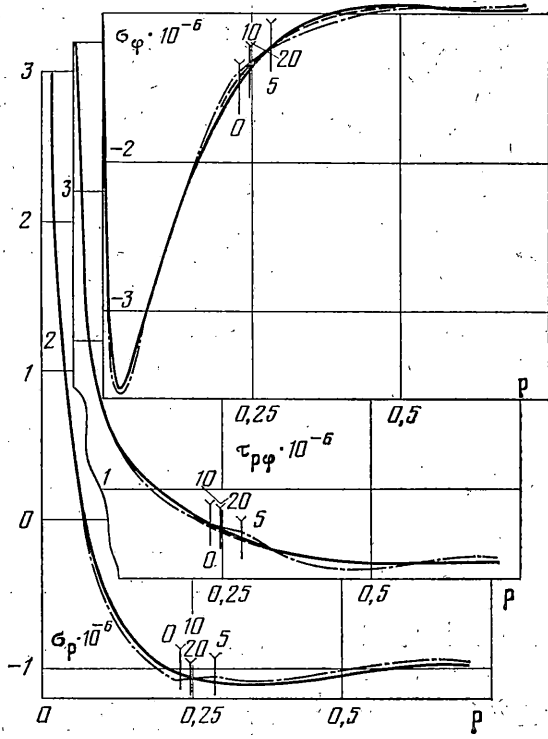
Рассмотрим буферный элемент описанной формы (фиг. 1, б). Считая аппроксимацию перемещений в нем линейной по ρ , получим следующее соотношение:

$$\begin{aligned}
 \{U\} = [N] \{X\} + \{U\} = (\rho_s M - \rho L) (\{U_s^0\} + \{U_s\}) + (\rho - \rho_s) L \{U_c\} \quad (1.2) \\
 L = 1/(R - \rho_s), \quad M = R/(\rho_s(R - \rho_s))
 \end{aligned}$$

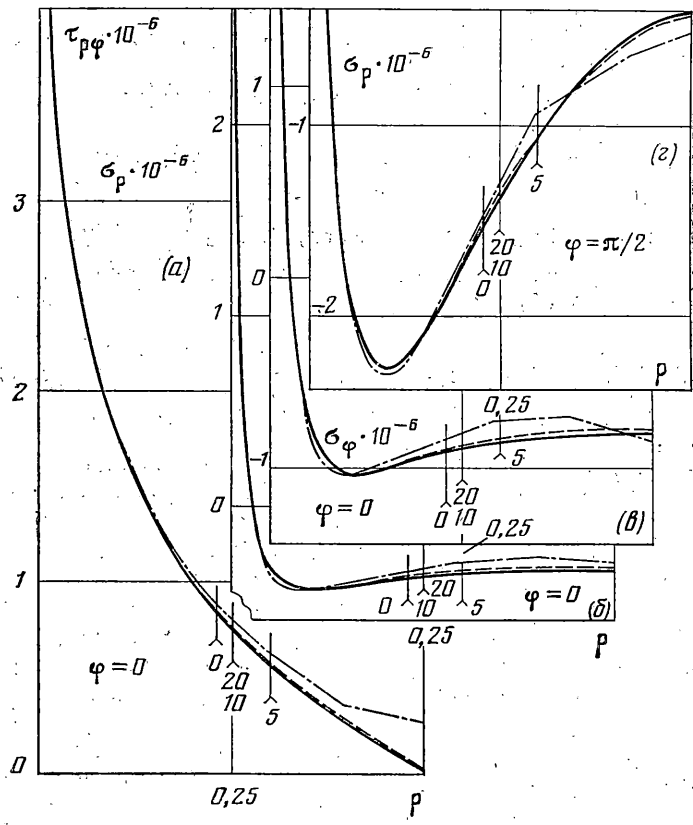
Сумма векторов $\{U_s^0\}$ и $\{U_s\}$ представляет собой сингулярные перемещения (1.1), вычисленные при $\rho = \rho_s$, причем $\{U_s^0\}$ содержит m неизвестных коэффициентов A_i , а $\{U_s\}$ — свободное слагаемое. Вектор $\{U_c\}$ — это перемещения в стандартном элементе [5] на стороне, граничащей с буферным элементом; в случае линейной аппроксимации в $\{U_c\}$ входят четыре неизвестных узловых перемещения. Таким образом, выражение (1.2) состоит из двух частей, одна из которых, $\{U\}$, — свободная, а другая, содержащая матрицу функций формы буферного элемента $[N]$ (ее компоненты расписываются на основе (1.1) и (1.2)), зависит от $m+4$ неизвестных $\{X\}$.

В полярной системе координат после интегрирования по ρ от ρ_s до R матрица жесткости буферного элемента с линейной аппроксимацией перемещений принимает вид

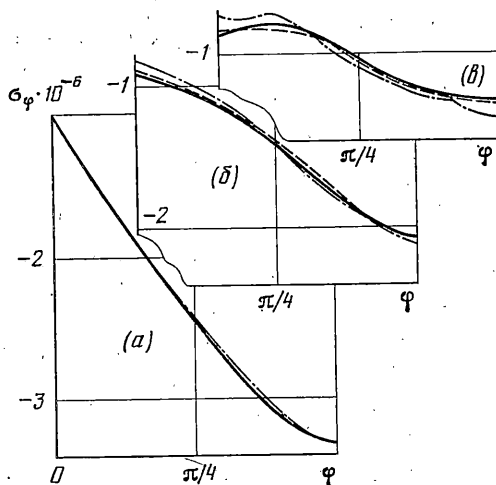
$$[k^{(b)}] = \int_{\varphi_1}^{\varphi_2} ([B_1]^T [D] (\rho_s^2 (\ln R - \ln \rho_s) [B_1] + \rho_s (R - \rho_s) [B_2]) + \dots$$



Фиг. 2



Фиг. 3



Фиг. 4

$$+[B_2]^T [D] (\rho_s (R - \rho_s) [B_1] + 0,5 (R^2 - \rho_s^2) [B_2]) d\varphi$$

где матрица $[D]$ определяется законом Гука [5], а матрицы $[B_1]$ и $[B_2]$ имеют размер $3 \times (m+4)$, причем первая строка первой из них — нулевая. Если неизвестные перемещения буферных узлов 1 и 2 (фиг. 1, б) искать в декартовой системе координат ($X_{m+1} = U_{1x}$, $X_{m+2} = U_{1y}$, $X_{m+3} = U_{2x}$, $X_{m+4} = U_{2y}$), то вторая и третья строки для $[B_1]$ записываются так:

$$\begin{aligned} & \rho_s^{\lambda_1} (MV_1 - KF_{21}), \dots, \rho_s^{\lambda_m} (MV_m - KF_{2m}) \\ & H_1 \sin \varphi, \quad -H_1 \cos \varphi, \quad H_2 \sin \varphi, \quad -H_2 \cos \varphi \\ & \rho_s^{\lambda_1} (MW_1 - KF_{11}), \dots, \rho_s^{\lambda_m} (MW_m - KF_{1m}) \\ & -H_1 \cos \varphi, \quad -H_1 \sin \varphi, \quad -H_2 \cos \varphi, \quad -H_2 \sin \varphi \end{aligned}$$

Для $[B_2]$ первая, вторая и третья строки имеют вид

$$\begin{aligned} & -\rho_s^{\lambda_1} LF_{11}, \dots, -\rho_s^{\lambda_m} LF_{1m}, \quad LP_1 \cos \varphi, \quad LP_1 \sin \varphi, \quad LP_2 \cos \varphi, \quad LP_2 \sin \varphi \\ & \rho_s^{\lambda_1} (-LV_1 + KF_{21}), \dots, \rho_s^{\lambda_m} (-LV_m + KF_{2m}) \\ & -H_1 \sin \varphi, \quad H_1 \cos \varphi, \quad -H_2 \sin \varphi, \quad H_2 \cos \varphi \\ & \rho_s^{\lambda_1} (-LF_{11}' + KF_{11}), \dots, \rho_s^{\lambda_m} (-LF_{1m}' + KF_{1m}) \\ & H_1 \cos \varphi - LP_1 \sin \varphi, \quad H_1 \sin \varphi + LP_1 \cos \varphi \\ & H_2 \cos \varphi - LP_2 \sin \varphi, \quad H_2 \sin \varphi + LP_2 \cos \varphi \end{aligned}$$

где P_1 и P_2 — линейные функции формы буферных узлов соседнего стандартного элемента [5] при $\rho = R(\varphi)$, а $K = R' / (R - \rho_s)^2$, $V_i = F_{2i}' + F_{1i}$, $W_i = F_{1i}' - F_{2i}$, $H_1 = LP_1' - KP_1$, $H_2 = LP_2' - KP_2$.

2. Перейдем к численной иллюстрации сингулярно-буферной модификации метода конечных элементов. Рассмотрим квадратную плиту размера 1×1 , жестко закрепленную с двух противоположных сторон, к двум другим ее сторонам приложена одинаковая нормальная параболическая нагрузка. Ввиду двойной симметрии задачи рассчитаем четверть квадрата с одной особой точкой в начале координат. Как известно [3, 4], бесконечные напряжения в такой точке могут появиться лишь за счет первого слагаемого асимптотики.

Покроем эту область сеткой по типу, изображенному на фиг. 1, з. Шаг сетки в стандартной зоне $h = 1/(2n)$, как и радиус сингулярного элемента ρ_s , будем менять в процессе решения (на фиг. 1, з $n = 5$, $\rho_s = 0,23$). Аппроксимацию перемещений в стандартных элементах, треугольных и квадратных, возьмем соответственно линейную и билинейную [2, 5], а в буферных — описанную выше линейную по ρ .

Пусть $n = 20$. Определим сначала необходимое число членов асимптотики m : если для некоторого ρ_s увеличение m на 2 (все используемые λ_i , кроме λ_1 , комплексно-сопряженные) вызывает расхождение в перемещениях, не превышающее 1%, то значит для этого радиуса достаточно оставить m членов. После численной проверки

оказалось, что для $\rho_s < 0,02$, $m=1$; для $\rho_s < 0,15$, $m=3$; для $\rho_s < 0,35$, $m=5$; дальнейший рост сингулярного элемента требует сохранения еще большего числа членов асимптотики.

Ограничившись указанными размерами радиуса и положив для единообразия $m=5$, сравним перемещения и напряжения, вычисленные при одном и том же $n=20$, но с различными сингулярными элементами ($0 < \rho_s < 0,35$). Установив таким образом допустимые пределы изменения ρ_s и зафиксировав в них среднее значение, исследуем затем сходимость по перемещениям и напряжениям ($n=5$, $n=10$, $n=20$). И, наконец, сопоставим рассматриваемую модификацию с обычным методом конечных элементов со сгущающейся в окрестности особой точки сеткой.

На основе полученных результатов сделаем выводы. Сингулярно-буферная модификация метода конечных элементов позволяет полностью избежать сгущения сетки вблизи особой точки. Размеры буферных элементов соответствуют шагу сетки в стандартной зоне. Выбор же радиуса сингулярного элемента довольно широк: нижняя граница определяется так, чтобы не пришлось сгущать сетку (слишком маленький сингулярный элемент нуждается в дополнительном дроблении шага в своей окрестности), а верхняя зависит от числа членов асимптотики, с которыми предполагается работать. Например, в иллюстрационной задаче для $m=5$ при изменении ρ_s от 0,1 до 0,35 расхождения в перемещениях не превышают 1% ($n=20$).

Радиус действия асимптотики в чистом виде может быть очень значительным: для трех членов ряда составляет около $1/3$ характерного размера области, для пяти — около $2/3$. Столь глубокое проникновение асимптотики вызывает существенное сокращение общего числа неизвестных. Но с другой стороны, такое сокращение иногда сопровождается увеличением ширины полосы глобальной матрицы жесткости, что в свою очередь может свести на нет преимущества, даваемые уменьшением числа неизвестных. Поэтому порядок нумерации последних (как узловых, так и асимптотических) является важным моментом в сингулярно-буферной модификации метода конечных элементов (в публикуемой работе он не рассматривается).

Следует особо оговорить расчет напряжений в узлах, внутренних, буферных и пограничных, обозначенных на фиг. 1, *г* соответственно темными и светлыми точками и крестами. Численно проверено, что для внутренних узлов подходит обычное усреднение по площади стыкующихся элементов. Если аналогично искать напряжения в буферных узлах, то получаются резкие «всплески», которые, однако, сглаживаются решениями для больших значений ρ_s (потому что для них «всплески» перемещаются дальше по ρ). А так как верхний предел ρ_s при одном и том же m достаточно велик, то естественно определять напряжения в буферных узлах по формулам сингулярного элемента. За основной критерий выбора метода вычисления напряжений в пограничных узлах предлагается принять их хорошую стыковку с асимптотической частью (во внутренних узлах, а так же для перемещений во всей области, такая стыковка обеспечивается автоматически). В иллюстрационной задаче для этой цели используется параболическая экстраполяция трех соседних пограничными и расположенных по нормали к границе узловых напряжений. В результате расхождения в напряжениях при изменении ρ_s от 0,1 до 0,35 не превышают 2% ($n=20$), причем максимальны они в примыкающих к буферной зоне стандартных элементах.

Что касается сходимости сингулярно-буферной модификации метода конечных элементов, то вызываемая сгущением сетки ($n=5$, $n=10$, $n=20$) наибольшая погрешность в перемещениях имеет место в стандартной зоне: $\Delta U(5, 10) = 4\%$, $\Delta U(10, 20) = 1\%$, т. е. при уменьшении шага сетки в два раза погрешность уменьшается в четыре. Такая скорость сходимости у перемещений сохраняется и в остальных зонах, в то время как величина погрешности резко убывает по мере приближения к особой точке.

Однако главный интерес представляет сходимость напряжений. Их поведение для сравниваемых сеток с $\rho_s = 0,23$ показано на фиг. 2–4 сплошными ($n=20$), штриховыми ($n=10$) и штрихпунктирными ($n=5$) линиями. Причем из-за малости масштаба две последние появляются, только когда расхождение больше 1%; в остальных случаях они сливаются со сплошной кривой. По этой же причине на указанных фигурах почти незаметно излома кривых при переходе от элемента к элементу. Фиг. 2 соответствует $\varphi = \pi/4$, фиг. 3 — $\varphi = 0$ и $\varphi = \pi/2$, фиг. 4, *а, б, в* — $\rho = 0,12$; 0,24; 0,36. (На фиг. 3 для $\varphi = \pi/2$ изображено лишь незаданное напряжение σ_ρ , а на фиг. 4 — σ_φ). Вертикальными линиями с цифрами на фиг. 2 и 3 указаны границы зон: нулевая линия располагается между сингулярной и буферной зонами, а n -я ($n=20$, 10 или 5 в зависимости от того, какая сетка рассматривается) — между буферной и стандартной. Численные значения напряжений на фиг. 2–4 получены для $\nu = 0,3$, $G = 0,813 \cdot 10^{10}$, $\sigma_\varphi|_{\varphi=\pi/2} = -0,16 \rho^2 + 0,16 \cdot 10^4 \rho - 0,5 \cdot 10^7$.

Отметим, что и параболическая экстраполяция в пограничных узлах стандартной зоны, и расчет находящегося на границе буферных узлов по формулам сингулярного элемента работают только в случае достаточно густых сеток ($n=10$ и $n=20$). Поэтому при сравнении стандартных и буферных участков границ на фиг. 3 и 4, *б, в* не следует учитывать сетку с $n=5$.

Численно установлено, что в сингулярной и буферной зонах скорость сходимости у напряжений такая же, как и у перемещений, и величина их расхождения между сравниваемыми сетками также резко убывает с приближением к особой точке. Наибольшую погрешность в напряжениях дает стандартная зона $\Delta \sigma(10, 20) = 3\%$, причем это значение достигается не только на границе, но и внутри области (фиг. 4, *в*, $n=10$ и $n=20$). Будем считать подобное распределение характерным и

для негустых сеток (при более удачном выборе способа расчета узлов на границе), поэтому за наибольшее $\Delta\sigma(5, 10)$ примем те 6%, которые имеют место в стандартной зоне, исключая приграничные элементы. Следовательно, скорость сходимости у напряжений в стандартной зоне в два раза меньше, чем в остальных.

Сингулярно-буферная модификация метода конечных элементов имеет ряд преимуществ по сравнению с обычным методом, использующим сгущающуюся в окрестности особой точки сетку. К ним относится устойчивость как по ρ , так и по h при $\rho \rightarrow 0$; обычный метод при малых ρ очень чувствителен к шагу сетки и характеру ее сгущения. Эта устойчивость — следствие высокой точности вычисления коэффициента при первом слагаемом асимптотики, которое в иллюстрационной задаче дает бесконечные напряжения, — $\Delta A_1(5, 10) = 0,16\%$, $\Delta A_1(10, 20) = 0,04\%$. Остальные коэффициенты находятся с большей погрешностью (максимальная — соответственно 3,2 и 0,8%). Таким образом очень точно определяются коэффициенты интенсивности напряжений, играющие существенную роль в механике разрушения. И, наконец, для одинаковых h наибольшая погрешность в напряжениях у предлагаемой модификации меньше, чем у обычного метода со сгущением, так как хотя максимальные значения их погрешностей в районе стандартной зоны и совпадают, но в первом случае это значение является наибольшим для всей области, а во втором оно уступает погрешности, приходящейся на ближайшую окрестность особой точки.

ЛИТЕРАТУРА

1. Akin J. E. The generation of elements with singularities.— Internat. J. Numer. Meth. Engng., 1976, v. 10, No. 6, p. 1249—1259.
2. Стренг Г., Фикс Дж. Теория метода конечных элементов. М.: Мир, 1977. 349 с.
3. Уфлянд Я. С. Интегральные преобразования в задачах теории упругости. М.—Л.: Изд-во АН СССР. 1963. 367 с.
4. Аксентян О. К. Особенности напряженно-деформированного состояния плиты в окрестности ребра.— ПММ, 1967, т. 31, вып. 1; с. 178—186.
5. Сегерлинд Л. Применение метода конечных элементов. М.: Мир, 1979. 392 с.

Ростов-на-Дону

Поступила в редакцию
15.VIII.1984